

## 討 8 加古川スラブ連鉄における表面品質改善と H C R の増大

神戸製鋼 加古川製鐵所 喜多村実 副島利行  
 小山伸二 松田義弘  
 ○安封淳治 秋泉清春

### 1. 緒 言

当社加古川製鐵所のウォーキングバー・カービリニア（以下W.B.-C.L.と略す）方式スラブ連鉄機は設備改造および操業技術の改善により、生産能力が15万トン／月へ倍増し、現在、厚板向スラブの80%、薄板向スラブの40%を製造するに至っている。またスラブ品質の向上・安定により、マシンスカーフがかなり省略され、無手入圧延実施率は厚板向で80%、薄板向で50%に達している。この無手入圧延のための操業技術の改善は、第2ステップである圧延加熱炉への直送（以下H C Rと称す）を可能とし、省エネルギーのうえで大きな効果をあげている。

本報告は、H C Rを可能とした操業技術の改善経過とその効果についてまとめたものである。

### 2. 設備および操業の概要

連鉄機の設備仕様と操業の概要を第1表に示す。また本機の特徴をつぎに示す。

- 1) 鋳型下に設けられたW.B.は铸片の引抜きと冷却能を備えており、ロールに比較して凝固シェルの薄い铸片のバルジング防止および急冷による熱応力の発生防止に優れている。
- 2) 鋳片の矯正には低ひずみ連続矯正（C.L.）法を採用して、铸片にかかる矯正応力を可及的小さくしている。
- 3) ロールピッチが短かくかつ剛性の高いセグメントロールを採用し、铸片のロール間バルジング量を小さく抑えている。
- 4) 鋳型は長さ1.2mの湾曲形ロングモールドで、抽出熱量が大きく、鋳型内での凝固シェルを厚くできるので铸片の断面形状が安定している。また、組立鋳型の銅壁の下端コーナ部を切欠いたオープンコーナ鋳型の採用により、この部分から铸片のコーナ部にスプレー冷却を加えて鋳型出口での凝固シェル厚さを均一にしている。

以上の本連鉄機の特徴を生かしつつ、さらに生産能力およびスラブ品質の向上をはかるために、概略つきのような設備改造および周辺諸技術の開発を行ってきた。

- ① W.B.の剛性の向上およびW.B.のクランプカムプロファイルの改良により鋳型内湯面変動を減少させた。
- ② W.B.通過後のロール帶（従来、スプレー冷却なし）での復熱に伴なうバルジングや熱応力により内部割れや表面横小割れが発生しやすいことが判明したので、ロール帶15mに2次冷却スプレーザー

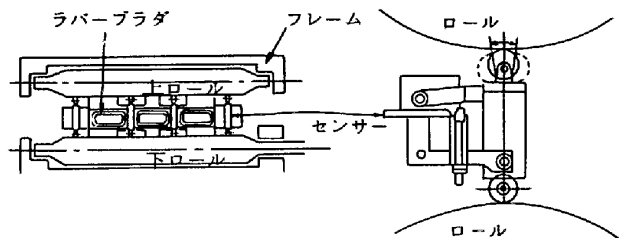
第1表 主なる設備仕様および操業条件

| 型 式              | W.B.-C.L.型   |
|------------------|--|
| タンディッシュ容量        | 18トン   |
| 鋳 型              | 湾曲鋳型 長さ：1.2m<br>下部オープンコーナ採用                                |
| 機 長              | 円弧部：9.2m（曲率10m）<br>矯正部：10.8m<br>水平部：8.4m<br>トータル：28.4m     |
| 2次冷却帯範囲          | ミニスカス下1～20m<br>(W.B.部4m含む)                                 |
| セグメントロール<br>使用範囲 | ミニスカス下5～20m<br>(矯正ロールピッチ400mm)                             |
| スラブサイズ           | 厚板向 250×1,900mm<br>230×1,600<br>230×1,250<br>薄板向 230×1,600 |
| 鋳 造 速 度          | 250mm厚：0.7～0.9m/min<br>230mm厚：0.9～1.4m/min                 |
| 比 水 量            | 0.7～1.0ℓ/kg・steel  |
| 2次冷却帶出口温度        | 860～940℃   |

ンを設けた。<sup>(1)</sup>

③ロールアライメント不整や誤った隙間設定は内部割れや中心偏析、または軸心割れを誘起し、HCR実施に当って大きな障害となる。そこで、ダミーバーの押上げ膨張力を利用し、負荷がかかった状態でロール隙間が測定できるダミーバー方式ロール隙間測定装置を開発し、内部品質の向上・安定化を図るために実用化している。<sup>(2)</sup>

④一部高級鋼については低硫化・Ca処理を実施し、等軸晶率を増大することにより中心偏析を軽減している。<sup>(3)</sup>



第1図 ダミーバー方式ロール隙間測定装置

### 3. スラブ表面品質の向上対策

HCR実施のためには、スラブ表面性状を向上させ無手入圧延実施率の拡大を図ることがまず必要である。従来、スラブの無手入化を妨げてきた表面欠陥としては、厚板材においてはノロカミ、縦割れ、横小割れ、表層下割れ、薄板材の主力鋼種である低炭Alキルド鋼においてはノロカミ、表層部アルミニナク拉斯ターがある。以下に、これら表面欠陥の発生防止策について述べる。

#### 3.1. 厚板向スラブにおけるノロカミ、縦割れ防止策

ノロカミの原因は、介在物と耐火物起因の二つに大別される。介在物系ノロカミは脱酸または二次酸化により生じた鋼中の $Al_2O_3$ がフランクスに溶けきらず、 $Al_2O_3$ の富化したフランクスをバインダーとして凝集したものであり、耐火物系ノロカミは、タンディッシュのストップペッヘッドおよびノズルに用いられているジルコン質の耐火物が欠け落ち、フランクスをバインダーとして凝集したものである。フランクスそのものに起因するノロカミはほとんどなく、タンディッシュ・コーティング材起因のノロカミも認められない。

縦割れは、2次冷却帯での冷却の不均一、鋸片矯正時の歪などの原因によっても発生するが、フランクスに起因する縦割れも多い。すなわちフランクスの粘度が低すぎたり、淬化が速すぎると、溶融フランクスが不均一流入を起し、凝固シェルの生成が不均一となるために縦割れは発生しやすくなる。

ノロカミに対する対策はフランクスの融点を下げて $Al_2O_3$ 吸収能を増すことであり、縦割れに対しては粘度を増し、淬化を遅くすることであるが、これら2つの表面欠陥の対策はおたがいに相反する関係にあるため、その調整が肝要である。

$4.0^kSi$ キルド鋼を対象に無手入圧延用フランクスを見出すべく実機テストを行なった。供試フランクスの物性値を第2表に、テスト結果を第2図に示す。スラブの表面欠陥はマシンスカーフ後に調査したものである。

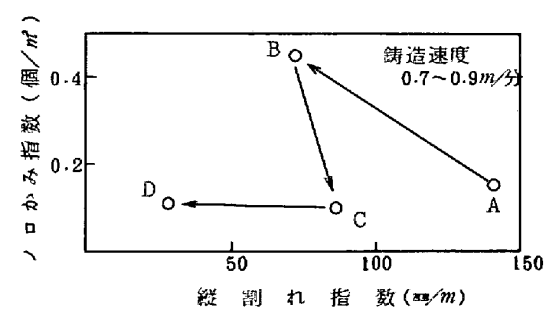
この結果、 $Al_2O_3$ などの酸化物を吸収しても溶融スラグの特性があまり変化しない初期組成とともに縦割れ発生防止に有利な粘性値を有するフランクスDを無手入圧延用フランクスとして使用している。

#### 3.2. 厚板向スラブにおける横小割れ、表層下割れ防止策

$Al$ 細粒鋼および含Nb鋼で顕著に認められるスラブ表層部の微細な割れは、鋸机では目視困難であり、且つマシンスカーフ後でも認められずに表皮下に存在する場合があり、非常に

第2表 フランクス供試材の物性値

| 銘柄<br>(CaO/SiO <sub>2</sub> ) | 堿基度  | 軟化点(℃) |                    | 粘性<br>at 1300℃<br>(poise) | 溶解速度<br>at 1300℃<br>(sec) |
|-------------------------------|------|--------|--------------------|---------------------------|---------------------------|
|                               |      | 生フランクス | $Al_2O_3$<br>20%添加 |                           |                           |
| A                             | 0.89 | 1120   | 1160               | 8.3                       | 20                        |
| B                             | 0.79 | 1150   | 1180               | 14.4                      | 23                        |
| C                             | 0.83 | 1150   | 1170               | 11.0                      | 20                        |
| D                             | 0.79 | 1150   | 1160               | 14.0                      | 14                        |



第2図 厚板 $4.0^k$ 鋼用フランクステスト結果

有害である。

横小割れの発生は2次冷却条件と強く相関があり、2次冷却帯出口温度が800~920°Cの範囲では割れは殆んど認められない。

(第3図)しかし、この温度範囲でも2次冷却帯で冷却一復熱があれば割れが発生することがある。これは、2次冷却帯では $\alpha \rightleftharpoons \gamma$ 変態をくり返している間に $\text{AlN}, \text{Nb}(\text{C}, \text{N})$ が析出し、脆化した粒界より矯正応力により割れが発生するものと推測される。<sup>(4)</sup>なお、スラブ表面温度が800°C以下になると割れの発生が認められるが、これは $(\alpha + \gamma)$ の二相状態での矯正となるためと思われる。従って、矯正帯を通過するときの表面温度は $\gamma$ 温度域に維持する必要があるが、920°C以上になると再び割れの発生が認められる。これは $\gamma$ 結晶粒が粗大化し、矯正応力に抗する粒界の面積が少なくなるためと思われる。

表層下割れは、<sup>(5)</sup> 横小割れとは発生形態が異なり、湾曲型連鉄機でのスラブ上下面の表皮下から深さ方向30mm前後にかけて発生する割れであり、常に、スラブ断面マクロ組織において過冷却パターンを伴って発生している。したがって、変態点からの復熱によって生ずる熱応力および変態応力がスラブの脆化域に作用して割れが発生するものと推測される。

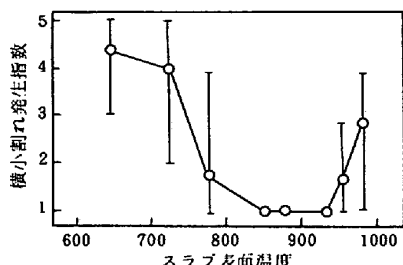
以上の発生機構から、二次冷却帯でのスラブ表面温度をできるだけ復熱させず、かつ出口温度が850~900°Cの間に保持できる冷却パターン(第4図)を採用し、これら割れの発生を大幅に軽減している。

### 3.3. 薄板向低炭 $\text{Al}$ キルド鋼における表面品質向上対策

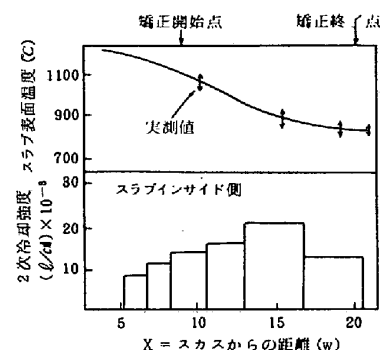
スラブ表面のノロカミ、表層近くの介在物は、冷延鋼板においてはヘゲ疵もしくはスリバー疵となって現われる。この主因はスラブ表皮下の $\text{Al}_2\text{O}_3$ クラスターであり、無手入圧延の可否は最終的にこの肌下 $\text{Al}_2\text{O}_3$ クラスターをいかにして減少させるかによる。

この $\text{Al}_2\text{O}_3$ を低減する手段として、取鍋-タンディッシュ間のシール、タンディッシュ内コーティング材、タンディッシュノズルからのArガス吹込み、フラックスそしてRH脱ガス処理条件の改善等を行い、スラブ表層部でのクラスターの捕捉を極力減少させかつ粒径を小さくすることを可能にした。第5図に、通常の転炉-RH脱ガス-連鉄工程により製造した従来材(A材)、RH工程で真空度を上げるとともに処理時間を延長した対策材(B材)、さらにタンディッシュの堰およびコーティング材に $\text{Al}_2\text{O}_3$ を使用した対策材(C材)でのスラブインサイド側皮下の酸素量を示す。また第6図に酸抽出ろ別法による $\text{Al}_2\text{O}_3$ 系介在物量調査結果を示す。酸素量と介在物量は同様の順位である。とくにC材では $t/16$ 位置で他の材料よりも著しく低い値を示している。

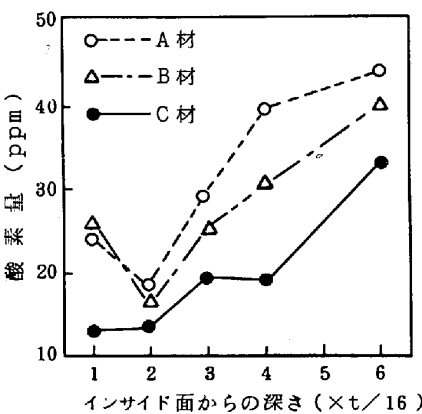
フラックスは初期 $\text{Al}_2\text{O}_3$ 濃度が低いほど $\text{Al}_2\text{O}_3$ 吸収能は大きくなるが、むしろ溶融温度の上昇をまねき、



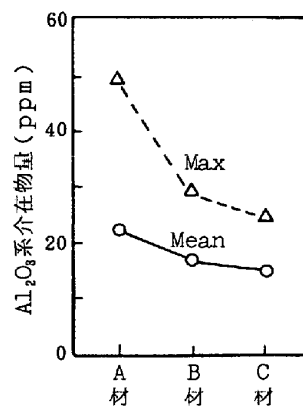
第3図 2次冷却帯スラブ表面温度と横小割れ発生指標の関係(APIX-70)



第4図 2次冷却パターンとスラブ表面温度推移(APIX-70)



第5図 酸素量の比較



第6図  $\text{Al}_2\text{O}_3$ 系介在物量の比較

フラックスの消費量が減少して全体として吸収される  $Al_2O_3$  系介在物量が少なくなる。したがって、初期  $Al_2O_3$  濃度を下げるとともに、溶融フラックスの更新を早めるために、オッシレーション条件のうち、振幅を小さくし、フラックス消費量を増加させた。第7図にフラックス消費量とノロカミ指数との関係を示す。

以上に述べた調査結果より、自動車外板用冷延鋼板をはじめとする低炭  $Al$  キルド鋼の鋳造に際しては、これら諸対策を実施するとともに、転炉スラグ中の T·Fe、取鍋一鋳型間での溶鋼中の  $Al$  減少量 ( $\Delta Al$ ) の管理を併せて行うことにより、当鋼種の 50% を無手入圧延している。

#### 4. HCR の現状

3 項に述べたスラブ表面品質向上・安定のための諸対策の実施により、無手入圧延実施率は大きく上昇するとともに、第2ステップである HCR の実施が可能となった。第8図に無手入圧延実施率および HCR 実施量の推移を示す。現在、月間約 3 万トンの HCR を実施しており、これにより圧延加熱炉では約  $100 \times 10^3$  kcal/t-slab の省エネルギーが可能となった。

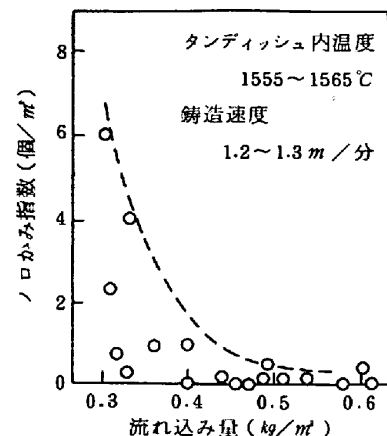
なお、第9図に HCR 工程とスラブ品質保証体制を示す。厚板向スラブに対しては検査保証法を、薄板向については工程保証法を採用している。この結果、成品での表面品質は HCR 実施前とくらべて差異なく推移している。

#### 5. 結 言(今後の課題)

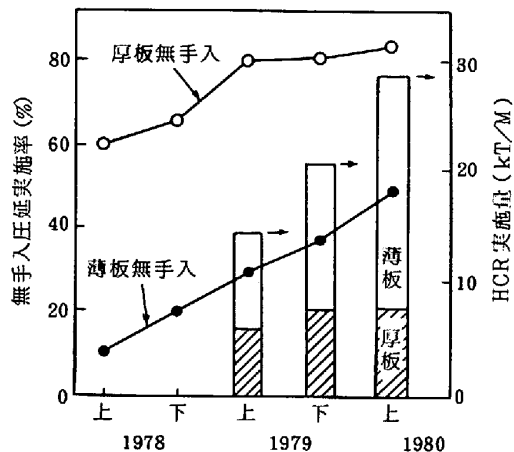
今後とも、エネルギーコストが高騰するなかで、HCR の量的な拡大を図るために、より高度な品質保証体制の確立を目的とした熱間疵見疵取装置の開発、電磁攪拌装置の活用、鋳造一圧延の同期化を行っていく予定である。また W.B. 本来の特徴である緩冷却とロングモールドの利点を最大限に生かして HCR 効果の増大をも図っていく所存である。

#### 参考文献

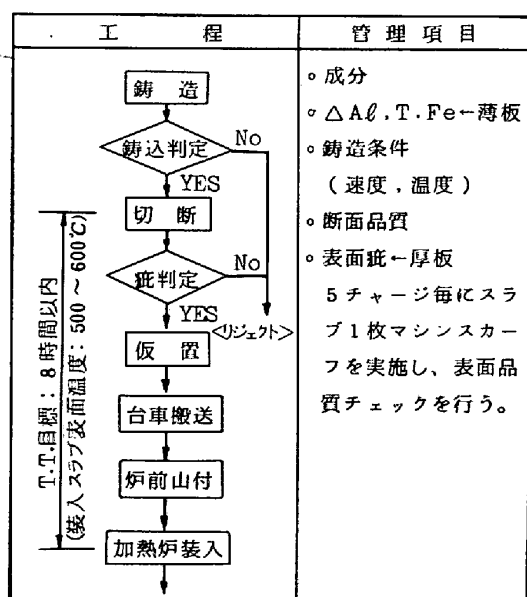
- (1)喜多村、副島、小山、二宮、森；鉄と鋼 64(1978)8, A119
- (2)神戸製鋼；第 69 回製鋼部会
- (3)喜多村、小山、八百、副島、安封；鉄と鋼 65(1979) 11, S721
- (4)飯田、守脇、上田、垣生；鉄と鋼 59(1973)4, S89
- (5)日本钢管；第 64 回製鋼部会



第7図 フラックス流れ込み量とノロカミの関係



第8図 無手入圧延率および HCR 量の推移



第9図 HCR 工程と品質保証体制